論文 CO2を固定したコンクリート破砕材を用いた TSC に関する検討

畑中 達郎*1・前原 聡*2・早川 健司*3・伊代田 岳史*4

要旨:筆者らは、型枠に予め粗骨材を敷き詰め、骨材間をグラウト充填することでコンクリートとする Two Stage Concrete の検討を進めている。本研究では、 CO_2 を固定したコンクリート破砕材を TSC へ用いる際に、簡便に連続して CO_2 固定量を把握するために破砕粒度の異なる試料を対象とし、質量法による CO_2 固定量の評価方法について室内試験を行った。さらに、実大規模のコンクリート試験体から製造したコンクリート破砕材へ CO_2 を固定化させ、TSC 試験体を作製した。その結果、TOC 法の CO_2 固定化量に対し、質量法は小さい値となった。また、TSC による CO_2 の削減量は、普通コンクリートと比較して 66%程度であった。

キーワード: Two Stage Concrete, カーボンニュートラル, CO2 固定, 質量変化, 圧縮強度, 曲げ強度

1. はじめに

2050 年までにカーボンニュートラルを達成すること が目標とされ、さまざまな取り組みがコンクリート分野 においても進められている。ここで、既設 RC 構造物の 解体等で発生する建設廃棄物のコンクリート塊は、再資 源化施設に搬入、処理し、再生砕石や再生骨材として再 資源化(再資源化率:99%以上2018年時点)され、その ほとんどが路盤材として利用されている。ただし、再資 源化後の在庫量は, 2010年には 1,034 千 t であったが, 2019年には1,844千tと約1.8倍になっており1),多くの コンクリート破砕材が再資源化工場等のストックヤード に集積され、余剰状態にある。これらのコンクリート破 砕材に対して、CO₂を積極的に固定化し、再利用範囲を 拡大することができれば、脱炭素に貢献できると考える。 ここで、筆者らは、骨材間をグラウト充填することでコ ンクリートとする Two Stage Concrete²⁾(以下「TSC」と 称す)の検討を進めており、その骨材として、CO2を固 定化させたコンクリート破砕材の利用について検討を進 めている。

コンクリート破砕材への CO2 固定量や固定速度は、破砕材の粒度および原骨材の含有割合等の破砕程度や原コンクリートのセメント量および水セメント比等によって異なると想定されるため、本研究では、原コンクリートの配合および破砕粒度の異なる試料を対象として CO2 固定量の検討を行った。ここで、CO2 固定量を定量化する方法として熱化学分析等があるが、分析のためには微粉砕等の前処理や専用の分析機器が必要となり、精度よく把握できるものの費用が高価であり、労力も要する。そのため、ある程度の精度で簡便に CO2 固定量を求めたい場合には活用しづらい。そこで、本研究では簡便に連続して CO2 固定量を把握可能と考えられる質量法による

CO2 固定量の評価方法を室内試験にて検討した。さらに、 実際の既設 RC 構造物の解体とコンクリート破砕材の処理方法を想定し、実大規模のコンクリート試験体からコンクリート破砕材を作製した。そのコンクリート破砕材を使用した TSC 試験体を作製し、その性能を確認するとともに CO2 排出量収支について試算を行い、TSC の優位性を検証した。

2. シリーズ 1 質量法による CO₂ 固定化量の把握に関する室内試験

2.1 試験方法

(1)使用材料,配合および作製方法

表-1 に使用材料を,表-2 にコンクリートの配合を示す。水セメント比は 40%,55%および 70%とし,単位水量は 174kg/m³,細骨材率は 45%の一定として,各配合において骨材の含有割合を変化させた。コンクリート試験体は, ϕ 100×200mm の円柱試験体とし,28 日間封緘養生した。その後,円柱試験体を載荷試験機,セットハンマーおよびジョークラッシャーを用いて 4 水準(α :0.075~0.3mm 未満, α :0.3~5mm 未満, α :5~20mm 未満, α :0.40mm 未満)に粉砕し,コンクリート破砕材の試料を作製した。なお,粒度 α については,粉砕時に得られる量が少なかったため,複数回にわたり破砕を行い,必要な試料量を確保した。

(2) 試料の恒量化および CO2 の固定化方法

表-3 に示すように CO_2 固定化過程の質量変化を理論的に考えると大気中の 44g の CO_2 がコンクリート中に吸収され、74g の $Ca(OH)_2$ と結合すると、100g の $CaCO_3$ と 18g の H_2O が生成される。生成された H_2O が逸散しないと仮定すれば、コンクリート中の $Ca(OH)_2$ が $CaCO_3$ と H_2O に変化するものの炭酸化前後において変化した質量

^{*1} 東急建設(株)技術研究所 社会基盤技術研究部 土木材料・地盤 G 博士(工学) (正会員)

^{*2} 東急建設 (株) 技術研究所 社会基盤技術研究部 土木材料・地盤 G グループリーダー 博士(工学) (正会員)

^{*3} 東急建設(株)技術研究所 副所長 兼社会基盤技術研究部 部長 博士(工学) (正会員)

^{*4} 芝浦工業大学 工学部 教授 土木工学課程 担当 博士(工学) (正会員)

はすべて吸収し,結合した CO₂ と考えることができる³⁾。 そこで,炭酸化反応以外の乾燥による水分逸散に伴う質量変化を無くすため,破砕材試料を CO₂ 固定化過程と同環境下に静置して恒量化する前処理を行った。

表-4 および図-1に、事前検討として W/C55%と同 等のレディーミクストコンクリートにて実施したコン クリート破砕材試料の恒量化方法を示す4)。事前検討で は、調湿材料に NaBr 飽和溶液および NaBr 粉末、吸湿材 料にシリカゲル、調湿吸湿環境として窒素ガスを充填し たデシケータおよび真空デシケータを用いた2水準の方 法を設定し、CO2固定化時と同じ湿度60%R.H.において 恒量となる方法を検討した。具体的には, 各デシケータ 内に静置した粉砕試料 500g に対し、調湿として約 60%R.H.に保つことが可能な NaBr 飽和水溶液を 5g, NaBr 粉末を 18g, 吸湿としてシリカゲル 50g を基本とし て設置した。また、デシケータ内での恒量化中に空気中 の CO₂ と反応して, 炭酸化が起きないようにデシケータ 内に窒素ガスを充填し、空気と置換した。なお、方法1 では恒量となるのに1カ月程度要したのに対し、方法2 は、1週間程度で恒量となった。真空乾燥をさせる方法 では 60%R.H.で恒量となる質量以下となるが、3 日程度 60%R.H.の環境に静置することで同等の含水状態にでき る結果となった。

本研究では、恒量化方法 2 の前処理として、試料は 3 日に 1 回、表層と内部が入れ替わるようにかき混ぜた。なお、窒素ガスを充填したデシケータ内には温湿度計、 CO_2 濃度計を設置し、温度 $20\pm1^{\circ}$ C、湿度 $60\pm5^{\circ}$ R.H.、 CO_2 濃度 50ppm 以下となるように、適宜 NaBr 飽和水溶液と粉末の入替えおよび窒素ガスの充填量を管理した。

前処理終了後、コンクリート破砕材試料は、炭酸化槽内(温度 20°C、60%R.H.、 CO_2 濃度 5%)に 14 日間にわたり静置し、随時、質量を計測した。

(3) 燃焼酸化赤外線式 TOC 法および骨材含有割合

炭酸化終了後の試料をボールミル等により微粉砕し、 その試料にリン酸を滴下し、加熱により CO₂ をガス化さ

表-1 使用材料

種類	記号	物性等
水	W	上水道水(密度 1.00g/cm³)
セメント	С	普通ポルトランドセメント(密度 3.16g/cm³)
細骨材	S1	八王子産砕砂(表乾密度 2.63g/cm³, 粗粒率 3.01)
和月杪	S2	富津産山砂(表乾密度 2.61g/cm³, 粗粒率 1.57)
粗骨材	G	大月産砕石 2005(表乾密度 2.62g/cm³, 粗粒率 6.75)
ル学	Ad1	AE 減水剤(リグニンスルホン酸系)
化学 混和剤	Ad2	高性能 AE 減水剤(ポリカルボン酸エーテル系)
1年4月月	AE	AE 剤(アルキルエーテル系陰イオン界面活性剤)

表-2 コンクリートの配合

					•		_			
W/C	s/a		単位量(kg/m³)							
(%)	(%)	W	C	S1	S2	G	Ad1	Ad2	AE	
40			435	570	190	927	-	2.61	0.87	
55	45	174	316	603	201	981	1.42	-	0.63	
70			249	622	207	1012	0.75	-	0.99	

せる燃焼酸化赤外線式 TOC 法を用いて、遊離した CO₂ を赤外線ガス検知器により測定した⁵⁾。

次に、 CO_2 固定量は試料中のセメントペースト含有量により異なると予想されたため、各試料のセメントペーストを 20% ギ酸水溶液により溶解させ、試料中に含まれる骨材とセメントペーストの割合を把握した 60。 具体的には、 CO_2 固定後の試料約 50g を微粉砕し、その中から 5g を採取し、20% ギ酸水溶液に 60 分浸漬、撹拌した。その後、吸引ろ過を行い、ろ紙にとどまった試料を炉乾燥させ、絶乾質量を測定し、骨材量とした。

2.2 試験結果

(1) 質量法による質量変化率

図-2 に質量法による質量変化率を示す。これによると、何れの W/C においても質量変化が認められた。水セメント比毎の経時変化は W/C55 および W/C70%においては炭酸化7日程度で変化が小さくなっており、W/C40%は炭酸化7日から 14 日においても変化があった。粒度別の質量変化率は、いずれの W/C においても、細粒の aが大きく、b~d はほぼ同程度であった。

(2) 骨材割合試験

表-5 に骨材割合試験の結果を示す. 骨材割合は、約63~86%であった。粒度 a~d の平均値は、配合上と同程度であり、粒度ごとの骨材割合の違いを示すことができていることから試験方法は妥当であったと考えている。

粒度 $b\sim d$ は概ね配合から推定される値より若干,大きな結果であった.一方,粒度 a においては,配合から推定される値より小さくセメントペーストが約 $1.5\sim 1.7$ 倍多く含まれていた。

表-3 炭酸化反応による質量変化

項目	反応	前	反応後	
化学式	Ca(OH) ₂	CO_2	CaCO ₃	H_2O
モル質量(g/mol)	74	44	100	18

表-4 恒量化方法 4)

期間	0~28 日目	29 日目以降		
方法 1	デシケータ (窒素ガス充填) (吸湿:シリカゲル)	デシケータ (窒素ガス充填)(調湿:NaBr 飽和溶液/粉末)		
期間	0~3 目目	4 目目以降		
方法 2	真空デシケータ (吸湿:シリカゲル)	デシケータ (窒素ガス充填) (調湿: NaBr 飽和溶液/粉末)		

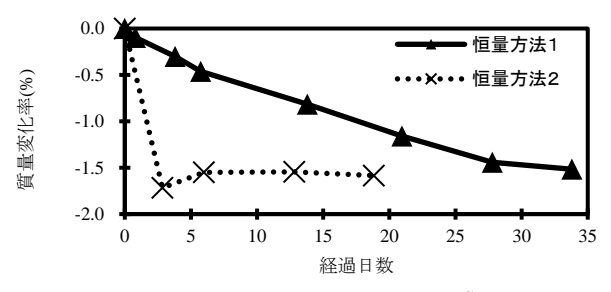


図-1 恒量化結果(粒度 b) 4)

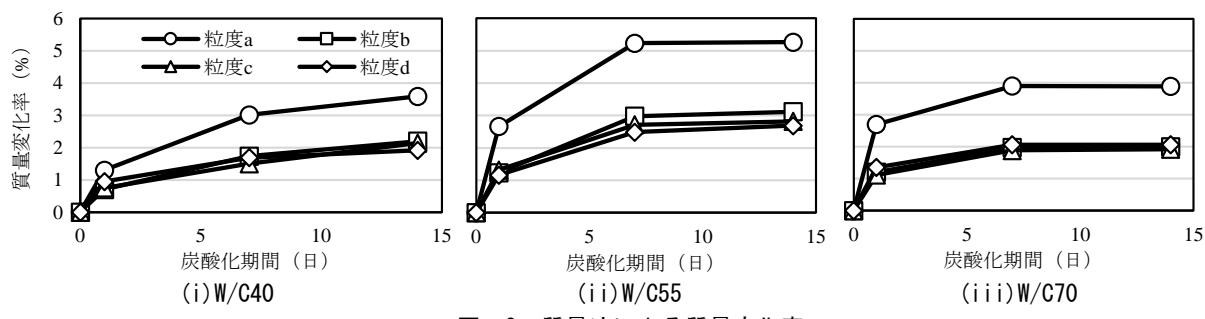


図-2 質量法による質量変化率

表-5 骨材割合試験

(i)骨材 W/C 粒度 粒度 粒度 粒度 平均 配合上 (%) (%) d (%)75.9 73.4 78.3 75.5 63.1 73.2 40 55 64.5 80.5 86.0 77.8 77.2 78.5 70 69.5 80.3 85.4 84.6 80.0 81.3

(ii)セメントペースト												
W/C (%)	粒度 a	粒度 b	粒度 c	粒度 d	平均 (%)	配合上 (%)						
40	36.9	21.7	24.1	24.5	26.8	26.6						
55	35.5	19.5	14.0	22.2	22.8	21.5						
70	30.5	19.7	14.6	15.4	20.1	18.7						

(3) CO₂ 固定化量

質量法による質量変化率は、全て CO_2 が固定化されたことによる変化として考え、ここでは、試料中のセメント量 100kg に対しての固定量について検討した。水セメント比と粒度毎の CO_2 固定量の関係を図-3 に示す。ここで、セメント量 100kg あたりの CO_2 固定化量は、式(1)にて算出した。

$$CO_2$$
固定量 = $\frac{A}{B \times D} \times 100$ (1)

ここで、CO₂固定量:(CO₂-kg/セメント 100kg あたり), A: 炭酸化期間 14 日における試料の質量変化率(%), B: 表-5(ii) 試料中のセメントペースト割合(%), D=C/ (W+C):配合上のセメントペースト中のセメント割合(%), W:単位水量(kg), C:単位セメント量(kg)

これによると、セメント量あたりの CO₂ 固定量は、粒度の違いによる関係は認められず、粒度 a の質量変化が大きくなったことは、コンクリート破砕材試料に含まれるセメントペースト量に依存していると考えられ、粒度を小さくすることが必ずしも CO₂ 固定量の増加につながらない結果となった。また、W/C55、70%と比較し、W/C40%では、セメント量あたりの CO₂ 固定量が小さいこと、および、炭酸化7日から14日の質量変化率が増加

傾向にあることから、CO₂ 固定量を増加させる余地があると考えられる。

(4) 質量法と TOC 法の関係

質量法による質量変化率は、全て CO2 が固定化された ことによる変化として考え, 試料 1t に対して質量変化率 を乗じることで、試料 1t あたりの CO2 固定量を算出し た。図-4に質量法と TOC 法の関係を示す。これによる と、質量法による CO2 固定化量が増加すると TOC 法に よる CO2 固定化量も増加しており、概ね相関関係にある ことが確認できた。しかしながら、質量法による CO2 固 定化量は TOC 法よりも小さい値となり、質量法による 評価方法では CO₂ 固定化量を少なく評価することが示 唆された。ここで、既往の研究 ⁷⁾において、質量増加率 を密度・吸水試験に際して測定した炭酸化前後の絶乾質 量から算出し、CO2吸収量をTG-DTA(熱重量示差熱分 析) から定量し, その結果, 質量増加率と CO2 吸収量は, 概ね 1:1 の関係になるとされている。本研究で質量法 による CO2 固定化量が小さくなった要因としては, 試料 の CO₂ 固定化過程で生成された水分の逸散やコンクリ ート破砕材試料の作製時, 前処理時に炭酸化が進行して いること、また、TOC 法による測定は結晶 CaCO3 以外 で結合した CO₂ を捉えていること等が影響している可 能性があり、今後より詳細な検討が必要と考える。

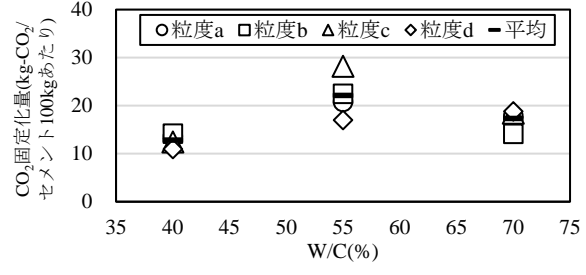


図-3 水セメント比と粒度毎の CO₂ 固定量の関係

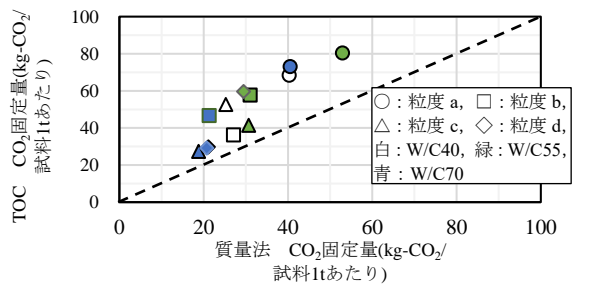


図-4 質量法と TOC 法の関係

3. シリーズ 2 実大規模の破砕により作製したコンク リート破砕材による CO₂ 固定化量の評価試験

3.1 試験方法

(1) 使用材料. 配合および作製方法

表-6 に実大規模のコンクリート試験体の構造形式と 材齢を、表-7 にコンクリートの配合を示す。使用セメントは早強と普通ポルトランドセメントで、それぞれ水セメント比が 46%, 63%である。細骨材は、陸砂、山砂、砕砂、粗骨材は砕石が用いられている。実大規模の破砕を想定して、表-8 に示す機械を用いてコンクリート破砕材を作製した。シリーズ 2 においては、破砕に必要なエネルギーを少なくするために破砕機による破砕はRC40mm 相当を想定し、1 回のみ実施した。

作製したコンクリート破砕材は,2章と同様に粒度4 水準(a:0.075~0.3mm 未満,b:0.3~5mm 未満,c:5~20mm 未満,d:20~40mm 未満)の骨材割合を把握した。

(2) 試料の CO2 固定化方法

4章での TSC の検討に使用する破砕材は、既往の研究 2 を参考にグラウト材の充填性を考慮して粒径を 2 10mm 以上とした。粒度 2 c,d のコンクリート破砕材を粒径 2 10 2 20mm 未満、 2 20mm 未満、 2 25mm 未満、 2 25mm 未満に再分級 し、室内試験で測定可能な量 2 300g 程度を採取した。試料の恒量化および 2 20 固定化方法は、 2 2章と同様の方法とし、質量法による 2 200 固定化量を測定した。また、 2 4章で使用した破砕材については炭酸化処理のみを行った。具体的には、破砕後 2 4 カ月程度屋外、 2 6 カ月程度室内で気中保管し、その後、炭酸化槽内(温度 2 10 の 2 10 の 2 10 に 2 3 日間静置して炭酸化処理を行った。

3.2 試験結果

(1) 骨材割合試験

表-9 に骨材割合試験結果を示す。骨材割合は、約50~78%であり、粒度 a~d の平均値は、配合上より小さい

表-6 実大規模コンクリート試験体の構造形式と材齢

試験体	構造形式/寸法(m)	解体時材齢
A	基礎/1.5×2.5×0.7	約2ヶ月
В	L 型擁壁/2.1×6.0×3.0	約6ヵ月

表-7 コンクリートの配合

コンクリート	W/C	s/a	単位量(kg/m³)				
破砕材	(%)	(%)	W	C	S	G	Ad
A(呼び強度 30)	46	40.7	188	410	668	1007	4.10
B(呼び強度 21)	63	47.9	167	265	886	976	3.18

表-8 使用機械

	20 12/13/12/12
機械	仕様
バックホウ	バケット容量 0.8m³, 機関出力 123kW, 燃料消費
クローラ型	率 0.124l/kW-h, バケット, ニブラ, ブレーカー
自走式破砕機	30t 級,機関出力 140kW, 燃料消費率 0.191 l/kW-h,ジョークラッシャー

表-9 骨材割合試験の結果

W/C	粒度	粒度	粒度	粒度	平均	配合上(%)
(%)	a	b	c	d	(%)	田田工(70)
46	58.4	69.2	77.6	76.0	70.3	73.7
63	50.9	65.4	78.5	78.0	68.2	81.2

値となった。粒度 a はシリーズ 1 と同様に骨材が少なく セメントペーストが多く含まれていた。配合上に対する 平均値がシリーズ 1 と違った要因としては破砕機械の規 模の違いが影響していると考えられた。

(2) コンクリート破砕材の CO2 固定量

図-5 にコンクリート破砕材による CO₂ 固定量を示す。これによると、セメント量あたりの CO₂ 固定量は、シリーズ1と同様に粒度の違いによる関係は認められず、シリーズ1の W/C55%および 70%と同程度となった。よって、本章での使用したコンクリート試験体と破砕方法の範囲内では、室内試験と比較し、破砕機械の規模および骨材含有割合の違いがセメント量あたりの CO₂ 固定化量に及ぼす影響は小さいと考える。

4. コンクリート破砕材による TSC の性能評価

4.1 試験方法

(1)使用材料と試験ケース

TSC の充填材として用いるグラウト材の使用材料を表 -10 に,グラウト材の配合とフレッシュ性状を表 -11 に示す。ここで,グラウト材の必要性能は,既往の研究 8 では,JP 漏斗を通過すること(流下時間制限なし),ミニスランプフローが 400mm 以上,流動時間が 75 秒以上の3 つを満たすことが条件としている。本研究では,グラウト材の配合は,既往の研究 8をもとに細骨材を山砂から珪砂に変えたものについて検討し,その配合は必要性能を満足した。

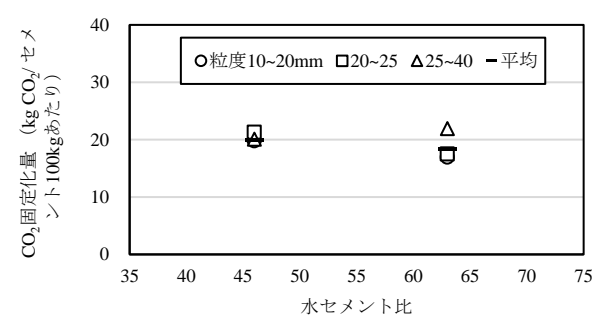


図-5 CO2固定化量

表-10 グラウト材の使用材料

種類	記号		使用材料		
水	W		上水道水		
結合材	В	OPC	普通ポルトランドセメント		
和 日 12	ь	GGBS	高炉スラグ微粉末 4000		
細骨材	S1		珪砂 5 号(粒径 1.12~0.1mm)		
邢田日初	S2		珪砂 7 号(粒径 0.425~0.075mm)		
混和剤		SP	高性能 AE 減水剤(ポリカルボン酸エーテル系)		
(比7年月)	1	ASK	水中不分離剤(セルロース系)		
混和材	(CSA 膨張材(石灰系)			

表-11 グラウト材の配合とフレッシュ性状

	1	X.		, ,	/ 1	17 07	ᄇᆫ	-	,,,	/ 	^
			単	位量	フリ	/ッシュ性	生状				
W/B (%)	W	С	B GGBS	S1	S2	ASK	SP	CSA	JP 漏斗	ミニスラン プ フロー (mm)	流動 時間 (s)
55	443	242	564	443	363	2.02	8.06	20	通過	415	126

表-12 に TSC 試験体の試験ケースを示す。コンクリート破砕材の粒度は、グラウト材の充填性を確保するために 10mm 以上とし、10-20mm 未満、10-25 mm 未満、10-40 mm 未満の3 水準を設定し、コンクリート破砕材の粒度の違いが TSC の強度に及ぼす影響を検討した。なお、破砕材は粗骨材の粒度分布内(JIS A 5023)に収まるように分級した試料をそれぞれ混合した。

(2) 試験方法

TSC 試験体は、シリーズ 2 で作製した CO_2 固定化後 (気乾状態) のコンクリート破砕材を型枠にあらかじめ 敷き詰め、質量を測定して型枠容積に対する破砕材容積 を求めた。グラウト材は、ハンドミキサーにより作製後、型枠の上面から充填した。 試験体は、 ϕ 150×300mm の 圧縮強度試験用、 $150\times150\times530$ mm の曲げ強度試験用に ついて各 3 体を作製し、28 日間にわたり実験室屋内において封緘養生を行い、その後、圧縮強度および曲げ強度 試験を行った。

4.2 試験結果

図-6に圧縮強度,図-7に曲げ強度の結果を示す。これによると、圧縮強度および曲げ強度は、破砕材の種類や粒度に関係なく、概ね同等の値を示した。ここで、既往の研究のによると、粗骨材の種類(砕石、バラスト、再生骨材)における圧縮強度差は小さく、TSC は粗骨材の影響を受けにくいとされている。また、グラウト材単体の硬化体と比較して、TSC の圧縮強度は 60~90%程度となるのが、本研究では 80%程度となり、同様の傾向を示した。

表-12 TSC 試験体の試験ケース

被摩(mm) 破砕材	10-20	10-25	10-40
A(密度 2.38g/cm³)	○ 破砕材容積 0.49m³/m³	○ 破砕材容積 0.49m³/m³	○ 破砕材容積 0.50m³/m³
B(密度 2.45g/cm³)	1	I	○ 破砕材容積 0.49m³/m³

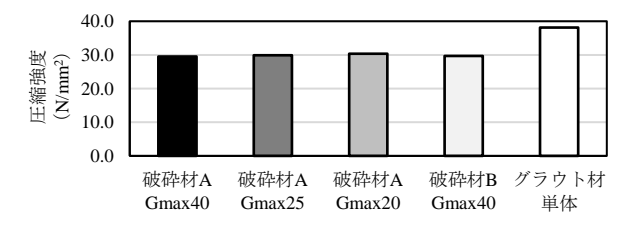
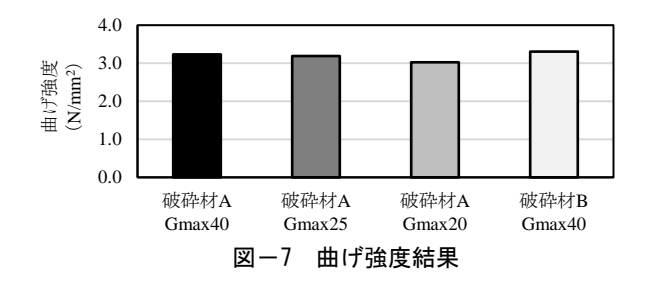


図-6 圧縮強度結果



 CO₂ を固定したコンクリート破砕材を用いた TSC の CO₂ 削減効果の試算

5.1 試算概要と条件

 CO_2 を固定した破砕材を用いた TSC の CO_2 削減の効果について試算した。ここでは,TSC 試験体と同等の強度 レベルとなる普通および高炉 B 種コンクリート (W/C55%) の配合とし,それらを $1m^3$ 作製すると仮定し,比較した。 $\mathbf{表}-13$ に CO_2 排出量原単位 100 を示す。 CO_2 排出量の算定は,製造に関わる CO_2 排出量のみを検討し, $\mathbf{表}-14$ に示す配合の使用材料に対して,排出量原単位を乗じて,その総和とした。

普通および高炉 B 種コンクリートでは、用いた骨材を砕石および砕砂とし、 CO_2 排出量原単位はそれぞれの数値を採用した。

TSC では、グラウト材に用いた珪砂の CO_2 排出量原単位は砕砂を、膨張材の CO_2 排出量原単位は普通ポルトランドセメントの数値を採用した。また、TSC のグラウト材と破砕材の容積割合は、TSC 試験体の破砕材容積より、50:50 とした。コンクリート破砕材製造時の CO_2 排出量は、破砕1回あたりの施工サイクルおよび使用機械の機関出力等をもとに式(2)にて算定した。

コンクリート破砕材の
$$CO_2$$
 排出量= $\frac{A \times B \times C \times D}{E}$ (2)

ここで、コンクリート破砕材の CO_2 排出量: (CO_2-kg/t) , A: 施工機械の機関出力(kw), B: 施工機械の燃料消費率(L/kw-h), C: 運転時間(h), D: 燃料(Eh) がの CO_2 排出量 $(2.62 kg-CO_2/L)$, E: 運転時間におけるコンクリート破砕材の製造量(t)

次に表-15 にコンクリート破砕材による CO_2 固定化量について示す。粒度 10-40mm の破砕材について、4 章での質量法による質量変化率から試料 1t あたりの CO_2 固定量を算出した。さらに型枠に詰めた破砕材容積をもとに $1m^3$ に必要な破砕材量を求め、それに対して試料 1t あたりの CO_2 固定量を乗じ、破砕材による CO_2 固定量とした。

表一13 CO₂ 排出量原単位 (kg-CO₂/t) 10) に※追記

OPC	BB	GGBS	砕砂	砕石	※破砕材		
807	471	40.2	7.09	7.09	3.1		
※(バックホウ 2.0+自走式破砕機 1.1)=合計 3.1(kg-CO ₂ /t)							

表-14 コンクリートおよび TSC の配合

(i)コンクリート								
種類			種類 W C				G	
普通コンクリート			174		316 804		981	
高炉 B 種コンクリート			170		309	846	976	
(ii) TSC								
材料	W	С	GGBS	S	CSA	G	容積	

(,							
材料	W	С	GGBS	S	CSA	G	容積 割合
グラウト材	221	121	282	403	1	_	50
破砕材	_	_	_	_	_	1172	50

5.2 試算結果

表-16に CO2 収支を示す。普通コンクリートと比較して、高炉 B 種コンクリートは 42%程度の削減となり、TSC によるものでは66%程度の排出量削減が見込まれた。なお、今回の検討では、破砕材の運搬、グラウト材製造などの TSC の施工時の CO2 排出量は含まれていないが、解体で発生した破砕材を現地で使用することによる再生工場への運搬量削減やグラウト注入による施工機械の小型化などにより、CO2 排出量の低減がより図れると考えられる。さらには、利用可能な破砕材粒径を 10mm 以上と設定していることから 10mm 以上の破砕材を採取しやすい破砕方法の検討および 10mm 以下の破砕材について、グラウト材への利用などを検討することで、さらなる CO2 排出量の削減が期待できると考える。

6. まとめ

本研究の範囲で得られた知見を以下に示す。

- (1)コンクリート破砕材について、質量法および TOC 法 から求められる CO_2 固定量は、概ね相関関係が確認できた。しかしながら、TOC 法の CO_2 固定化量に対して質量法から求まる CO_2 固定化量は小さくなり、今後より詳細な検討が必要と考える。
- (2)実大規模と室内試験により作製したコンクリート破砕材を比較すると、骨材含有割合に違いがあるものの破砕機械の規模がセメント量あたりのCO2固定化量に及ぼす影響は小さかった。
- (3)TSC 試験体の圧縮強度,曲げ強度は,破砕材粒径の違いに関わらず,同程度となった。また,TSC 試験体の圧縮強度はグラウト材単体の圧縮強度の80%程度となり既往の研究と同様の傾向となった。
- (4) CO₂ を固定したコンクリート破砕材を用いた TSC による CO₂ 削減効果は、普通コンクリートと比較して、66%程度であった。

謝辞

本研究は、港湾空港技術研究所、東京理科大学、芝浦工業大学、飛島建設株式会社との共同研究による成果の一部です。ここに関係者への謝意を示します。

参考文献

- 1) 経済産業省製造産業局素材産業課: 平成 31 年·令和 元年 砕石等統計年報, 2019
- 2) 野口優理香, 輿水理咲, 伊代田岳史: 環境配慮型 TSC の検討〜環境負荷を低減したグラウト材の開発に

表-15 コンクリート破砕材の CO₂ 固定量

項目	破砕材	破矿	合計			
項目		10-20	20-25	25-40		
試料 1t あたりの CO ₂	A	28	34	34	_	
固定化量(CO ₂ -kg/t)	В	20	23	31	_	
破砕材量(t/m³)	A	0.481	0.152	0.539	1.172	
,	В	0.401	0.132	0.557	1.1/2	
破砕材による	A	13.4	5.1	18.5	37.0	
CO ₂ 固定量(kg)	В	9.6	3.5	16.9	30.0	

表-16 コンクリート 1m³ (W/C55%) 製造時の CO₂ 収支

100 MCC		和学会		
種類	排出	固定	収支	削減率(%)
普通コンクリート	268	0	268	_
高炉 B 種コンクリート	155	0	155	42
TSC (破砕材 A)	126	37	89	67
TSC(破砕材 B)	126	30	96	64

向けて~, 第 77 回セメント技術大会講演要旨, pp.286-287, 2023

- 3) 荒渡光貴, 関健吾, 取違剛, 渡邉賢三, 向俊成ほか: 炭酸化養生前後における質量変化に基づく炭酸化 の進行評価に関する基礎的検討, 令和4年度土木学 会全国大会第77回年次学術講演会, V-450, 2022
- 4) 畑中達郎,鈴木将充,前原聡,早川健司,伊代田岳 史:コンクリート破砕材への CO₂ 固定化に関する検 討,令和 6 年度土木学会全国大会第 79 回年次学術 講演会, V-40, 2024
- 5) 安田僚介, 島崎大樹, 七澤章, 森泰一郎:炭酸化を受けたセメント系材料中のCO2含有率評価に向けた分析方法の検討, セメント・コンクリート論文集 Vol.75, pp.442-447, 2021
- 6) 栗原哲彦, 溝本優介, 小川智彦:酸溶解により得られ た再生粗骨材の物性値, セメント・コンクリート論 文集 Vol.73, pp.379-386, 2019
- 7) 松田信広,井上優作,伊代田岳史:強制炭酸化を行った低品質再生細骨材の CO₂ 吸収量と改質効果の定量化に関する検討,第 77 回セメント技術大会講演要旨,pp.274-275,2023
- 8) 内藤雄也, 八尋瑠奈, 伊代田岳史, 白石真由奈: コン クリートスラッジを活用したグラウト材を用いた TSC に関する研究, 第 78 回セメント技術大会講演 要旨, pp.170-171, 2024
- 9) 野口優理香, 内藤雄也, 伊代田岳史: 環境配慮型 Two Stage Concrete の実現に向けたグラウト材と骨材の 提案, コンクリート工学年次論文集, Vol.46, No1, pp.1153-1158, 2024
- 10) 日本コンクリート工学会:セメント・コンクリート の環境影響評価に関する研究委員会報告書,日本コ ンクリート工学会,2024.9